

# Electronic properties of two dimensional semiconducting Nano-systems, by using few numerical approaches: meshless, finite element and finite difference methods

Mehrzad Ghorbani<sup>1,\*</sup>, Mehdi solaimani<sup>2</sup>

<sup>1</sup>Department of mathematics, Qom University of Technology, Qom, Iran

<sup>2</sup>Department of Physics, Qom University of Technology, Qom, Iran

Received: 30.07.2019    Final revised: 25.09.2020    Accepted: 19.01.2021

Doi link: [10.22055/JRMBS.2021.16521](https://doi.org/10.22055/JRMBS.2021.16521)

## Abstract

In this paper, we have studied the electronic structure of few two dimensional semiconducting nano-systems by using three numerical methods meshless, finite element and finite difference. These methods have been used to solve the two dimensional stationary Schrodinger equation and the results have been compared. In order to solve the applied problems in the computational semiconducting quantum electronics, it is usually needed to solve the two dimensional stationary Schrodinger equation which have special numerical complexities. Evaluation of the energy eigenvalues is a challenging problem in this field of study. Here, by applying the methods on five applied examples we have shown that the eigenvalues converge to the exact values from lower bound in the finite difference method and converge to the exact values from upper bound in the finite element method. Therefore, in general applied problems under research, that we have not analytic eigenvalues and solutions, we are confidently able to find the upper and lower bounds of the eigenvalues. Finally, we have shown that in the mentioned examples, the meshless method has maximum accuracy among the investigated methods.

**Keywords:** Two dimensional Schrodinger equations, meshless methods, finite element method, finite difference method, multiquadric radial basis functions

---

\*Corresponding Author: ghorbani@qut.ac.ir



## بررسی ویژگی‌های الکترونی نانوسیستم‌های نیم‌رسانای دوبعدی با کمک روش‌های عددی بدون شبکه، عناصر محدود و تفاضل محدود

مهرزاد قربانی<sup>1\*</sup>، مهدی سلیمانی<sup>2</sup>

<sup>1</sup>گروه ریاضی، دانشگاه صنعتی قم، قم، ایران

<sup>2</sup>گروه فیزیک، دانشکده مکانیک، دانشگاه صنعتی قم، قم، ایران

دریافت: 1398/05/08 ویرایش نهایی: 1399/07/04 پذیرش: 1399/10/30

Doi link: [10.22055/JRMBS.2021.16521](https://doi.org/10.22055/JRMBS.2021.16521)

### چکیده

در این مقاله، با استفاده از سه روش عددی تفاضلات متناهی، عناصر متناهی و بدون شبکه ساختار الکترونی تعدادی از نانو سیستم‌های دوبعدی با کمک حل عددی معادله شرودینگر دو بعدی مورد بررسی و مقایسه قرار می‌گیرد. برای حل مسائل کاربردی حوزه الکترونیک کوآنتومی محاسباتی نیم رساناها اغلب نیاز به حل عددی معادلات شرودینگر دو بعدی می‌باشد که این مسائل عموماً به‌خاطر عدم وجود جواب‌های تحلیلی دارای پیچیدگی‌های محاسباتی خاص خود می‌باشند. محاسبه ویژه‌مقادیر، یکی از مهمترین چالش‌های این حوزه می‌باشد. در اینجا، با کمک پنج مثال متنوع کاربردی، نشان داده شده است که تحت شرایط مفروض، اندازه ویژه‌مقادیر مسئله، در روش تفاضلات محدود از پایین و در روش المان محدود از بالا به مقادیر واقعی نزدیک می‌شود. بنابراین در صورت نیاز به دقت بالا برای یک مسئله عمومی کاربردی که حل تحلیلی آن وجود ندارد، با کمک این دو روش می‌توان تقریبی از کران بالا و پایین و بازه‌ای برای ویژه‌مقادیر یافت. در ادامه نشان داده شده، روش بدون شبکه بالاترین دقت را در بین روش‌های ارائه شده برای مثال‌های مورد بررسی دارد.

**کلیدواژه‌گان:** معادله شرودینگر دو بعدی، روش‌های بدون شبکه، روش‌های اجزاء متناهی، روش‌های تفاضلات متناهی، توابع پایه‌ای شعاعی

### مقدمه

علت استفاده روز افزون از کامپیوتر و نرم افزارهای محاسباتی این است که در علوم پایه و مهندسی، تعداد مسائلی که دارای حل تحلیلی و دقیق باشند محدود هستند. برای مثال، در مکانیک کوآنتومی تعداد پتانسیل‌هایی که معادله شرودینگر تک ذره‌ای آنها با یک روش تحلیلی قابل حل باشد (مانند پتانسیل مربوط به ذره در جعبه، پتانسیل مورس، پتانسیل پوشل-تلر<sup>1</sup>) زیاد

امروزه برای انجام یک پژوهش می‌توان از رهیافت‌های مختلف تجربی، نظری و محاسباتی که پس از ورود رایانه به عصر جدید فناوری، نگرشی جدید برای بررسی مسائل ایجاد نموده و انجام تحقیقات را به‌طور شگفت‌آوری سرعت بخشیده است استفاده کرد.

\* نویسنده مسئول: ghorbani@qut.ac.ir

<sup>1</sup>Poschel-Teller



روش ماتریس انتقال [13]، روش تفاضلات محدود [14-16]، روش عناصر محدود [17-18]، روش تکرار مجانبی<sup>1</sup> [19]، گروه باز نرمال‌ش ماتریس چگالی<sup>2</sup> [20]، قطری سازی دقیق<sup>3</sup> [21]، الگوریتم ژنتیک [22]، روش تحلیل هموتوپی هی<sup>3</sup> [23]، روش نومروف<sup>4</sup> [24]، روش رانگ کوتا [25-26]، روش تیر اندازی [27]، و غیره برای این منظور استفاده می‌کنند. ولی بررسی‌های مقایسه‌ای برای انتخاب روش بهینه با تمرکز بر روی یک مسئله ویژه مقاداری مانند معادله شرودینگر دو بعدی با ضریب متغیر (تابع پتانسیل)، کمتر انجام شده است. بدلیل سادگی، مرسوم‌ترین روش برای حل معادلات شرودینگر روش تفاضل متناهی بوده است [8]. ولی این روش دارای مشکلاتی است. مثلاً با رفتن از یک بعد به دو و سه بعد، اگر تعداد برش‌ها در هر جهت  $N$  باشد، ابعاد ماتریس به ترتیب  $N^2$  و  $N^3$  خواهد بود [28]. بنابراین به سادگی قابل مشاهده است که برای داشتن یک دقت حداقلی، ابعاد ماتریس شرودینگر در دو و سه بعد و در نتیجه حجم محاسبات به سرعت افزایش می‌یابد. این امر با استفاده از ماتریس‌های تنک<sup>5</sup> تا حدی قابل کنترل است ولی قطری سازی ماتریس‌های بسیار بزرگ، هرچند تنک، با دشواری‌های دیگری همراه است. از این رو محققان از روش‌های دیگری مثل اجزاء محدود، قطری سازی دقیق و غیره هم استفاده می‌کنند. با این وجود، حل عددی معادله شرودینگر دو بعدی با کمک روش بدون شبکه کمتر مورد توجه قرار گرفته است. در مطالعه کنونی، هدف ما مقایسه سه روش بدون شبکه، عناصر محدود و تفاضل محدود برای حل معادلات شرودینگر دو بعدی نوع استاتیک و غیر وابسته به زمان است. در مجموع، الف: تعیین کران بالا و پایین برای ویژه‌مقادیر

نیستند و در حالت کلی پتانسیل، تضمینی برای وجود جواب تحلیلی وجود ندارد. در هنگام محاسبات نیز معمولاً به میزان دقت، سرعت روش‌ها، بازه صحت و سایر نکات آنالیزی و تئوری کمتر توجه می‌شود با اینکه حل معادلات شرودینگر غیر وابسته به زمان کاربردهای زیادی در حوزه‌های مختلف فیزیک از قبیل محاسبه ویژگی‌های نوری [1]، رسانش [2]، شیفیت دیامغناطیسی [3]، اثر فرانز-کلدیش [4]، انرژی بستگی ناخالصی‌های دهنده [5] و انتقال اشتراک آنها [6]، تشکیل ریزنوارها [7]، و غیره برای نانو ساختارهای نیم‌رسانا دارد.

در عمل، به دلیل دشوار بودن حل کلی شکل دو بعدی این نوع معادلات [8]، محققین ترجیح می‌دهند با روش‌هایی نظیر جداسازی متغیرها این معادلات را به چند معادله یک بعدی ساده‌تر تقلیل دهند تا مسائل بزرگ به مسائل کوچک تبدیل شده و حل آنها ساده‌تر شود که این کار همیشه میسر نیست و مستلزم خطاست و به کاهش دقت نتایج محاسبات منجر می‌شود. در واقعیت نیز تعداد مسائلی که توسط روش‌های جدایی پذیر می‌توانند منجر به معادلات یک بعدی شوند زیاد نیستند و مسائل واقعی اغلب چند بعدی، پیچیده و غیر قابل جداسازی هستند و گاهی با اندکی دستکاری، به معادلات جفت شده یا سیستمی از معادلات منجر می‌شوند. موارد گفته شده اهمیت توجه کلی به روش‌های حل حالت چند بعدی این نوع معادلات را روشن می‌کند. برای مثال گفته می‌شود که حل تحلیلی برای معادلات شرودینگر برای یافتن حالات الکترونی تعداد زیادی از نانو ساختارها ممکن نیست و محققین از روش‌های عددی نظیر: حساب وردشی [9]، روش پتانسیل وزنی [10]، روش سری فوریه [11-12]،

<sup>4</sup> Numerov method

<sup>5</sup> sparse

<sup>1</sup> Asymptotic iteration method

<sup>2</sup> Density matrix renormalization group

<sup>3</sup> He's homotopy perturbation method

که در اینجا دامنه مسئله مورد نظر به شکل مستطیلی  $V(x, y)$  می‌باشد. تابع پتانسیل  $\Omega = [a_x, b_x] \times [a_y, b_y]$  معلوم بوده و ما فرم صریح آن را در مثال‌های مورد نظر به صورت‌های متنوع در بخش نتایج و بحث می‌آوریم. پارامتر  $\alpha$  ضریبی ثابت و معلوم است.  $E$  ویژه مقدار، نامعلوم و حل عددی ویژه تابع مجهول  $\psi(x, y)$  مورد نظر است.

### روش تفاضل محدود

به منظور حل معادله 1 با روش تفاضلات متناهی باید از تقریب‌های متنوعی برای مشتقات مراتب مختلف استفاده نمود، به عنوان مثال برای مشتق اول:

$$f'(x) \simeq \frac{f(x+h) - f(x-h)}{2h} - \frac{h^2}{3!} f''' - \dots \quad 3$$

و به همین صورت برای مشتق دوم داریم:

$$f''(x) \simeq \frac{f(x+h) - 2f(x) + f(x-h)}{h^2} - \frac{h^2}{12} f^{(4)} \quad 4$$

که در آن  $-\frac{h^2}{6} f'''$  و  $-\frac{h^2}{12} f^{(4)}$  عبارات خطایی برشی نامیده می‌شوند. با کمک این تقریب و برش‌زنی، در نهایت عملگرهای مشتق به شکل یک سیستم ماتریسی تبدیل می‌شوند. بنابراین اگر  $N_x$  و  $N_y$  تعداد برش‌ها در طول محورهای  $X$  و  $Y$  باشند می‌توان معادله 1 را به صورت زیر نوشت:

$$-\alpha \left( \frac{\psi(x_n + \Delta x, y_m) - 2\psi(x_n, y_m) + \psi(x_n - \Delta x, y_m)}{\Delta x^2} + \frac{\psi(x_n, y_m + \Delta y) - 2\psi(x_n, y_m) + \psi(x_n, y_m - \Delta y)}{\Delta y^2} \right) \quad 5$$

$$+ V(x_n, y_m) \psi(x_n, y_m) = E \psi(x_n, y_m)$$

این معادله را به صورت ساده‌تر زیر بازنویسی می‌کنیم:

$$-\alpha \left( \frac{\psi_{n+1,m} - 2\psi_{n,m} + \psi_{n-1,m}}{\Delta x^2} + \frac{\psi_{n,m+1} - 2\psi_{n,m} + \psi_{n,m-1}}{\Delta y^2} \right) \quad 6$$

$$+ V_{n,m} \psi_{n,m} = E \psi_{n,m}$$

یک معادله شرودینگر دو بعدی که حل تحلیلی برای آن نداریم، ب: مقایسه دقت سه روش مختلف با شبکه و بدون شبکه برای حل عددی معادله شرودینگر دو بعدی و ج: ارائه فرم مشروح و اعمال روش بدون شبکه برای محاسبه ویژه مقادیر و ویژه توابع معادله شرودینگر دوبعدی از نوآوری‌های این مقاله است. لازم به ذکر است که در روش اجزاء متناهی از روش باقیمانده وزنی گالرکین و در روش بدون شبکه از روش هم محلی استفاده شده است. تمام توابع پایه‌ای دارای پارامترهای باز هستند که انتخاب مقدار آنها قاعده خاصی ندارد و به صورت تجربی انجام می‌شود. سادگی الگوریتم روش‌های بدون شبکه، درجه همواری بالای آنها، استقلال از شبکه و موضعی بودن از مزایای این نوع روش است. بخش‌های این مقاله عبارتند از: در بخش 1 فرمولبندی ارائه می‌شود. در بخش 2 روش قدیمی‌تر تفاضلات متناهی و پس از آن در بخش 3 روش اجزاء متناهی توضیح داده می‌شود. روش بدون شبکه موضوع بخش 4 می‌باشد. در بخش 5 نتایج عددی ارائه می‌شود و سپس نکاتی به عنوان پیشنهاد داده می‌شود. در پایان لازم به ذکر است که روش‌های ارائه شده در این مقاله به تمامی پتانسیل‌های غیر تکین قابل اعمال است. ولی اگر پتانسیل تکین باشد می‌توان از روش‌های دیگر مثل روش سینک نیز [29] استفاده نمود.

### فرمولبندی

معادله شرودینگر دو بعدی غیروابسته به زمان (ایستا) در تقریب جرم مؤثر و با کمک تقریب تابع پوش استفاده کرده‌ایم و با شکل کلی زیر مورد نظر است:

$$\left( -\alpha \left( \frac{\partial^2}{\partial x^2} + \frac{\partial^2}{\partial y^2} \right) + V(x, y) \right) \psi(x, y) \quad 1$$

$$= E \psi(x, y)$$

$$\varphi_{i,j}(x,y) = \begin{cases} \frac{x_{i+1}-x}{x_{i+1}-x_i} \frac{y_{j+1}-y}{y_{j+1}-y_j}, & x_i \leq x \leq x_{i+1}, y_j \leq y \leq y_{j+1} \\ \frac{x_{i-1}-x}{x_{i-1}-x_i} \frac{y_{j+1}-y}{y_{j+1}-y_j}, & x_{i-1} \leq x \leq x_i, y_j \leq y \leq y_{j+1} \\ \frac{x_{i-1}-x}{x_{i-1}-x_i} \frac{y_{j-1}-y}{y_{j-1}-y_j}, & x_{i-1} \leq x \leq x_i, y_{j-1} \leq y \leq y_j \\ \frac{x_{i+1}-x}{x_{i+1}-x_i} \frac{y_{j-1}-y}{y_{j-1}-y_j}, & x_i \leq x \leq x_{i+1}, y_{j-1} \leq y \leq y_j \\ 0, & \text{Otherwise} \end{cases} \quad 8$$

که در آن  $x = 0, 1, \dots, n_x$  و  $y = 0, 1, \dots, n_y$ . تعداد کل نقاط برابر  $(1+n_x) \times (1+n_y)$  است. از آنجایی که توابع پایه در مرزهای فضایی صفر می‌باشند، نقاط روی مرزها در محاسبات وارد نمی‌شوند. بنابراین تعداد مجهولات (و در نتیجه تعداد معادلات جبری) برابر تعداد نقاط درونی دامنه یعنی برابر  $(n_x - 1) \times (n_y - 1)$  است. اکنون تقریب عناصر محدود تابع موج معادله 1 را با ترکیب خطی توابع پایه ذکر شده در بالا (معادله 8) و به صورت زیر در نظر می‌گیریم:

$$\tilde{\psi}(x,y) = \sum_{i=0, j=0}^{n_x-1, n_y-1} u_{i,j} \varphi_{i,j}(x,y) \quad 9$$

که در آن  $u_{i,j}$ ها مجهولات مسئله در نقاط درونی دامنه یا تلاقی عناصر مستطیلی مورد نظر هستند. برای سادگی انجام محاسبات، از عناصرهم پارامتر<sup>1</sup> شده یا عناصر یکبه با تغییر متغیرهای  $\xi = \frac{x-x_i}{h_x}$  و  $\eta = \frac{y-y_j}{h_y}$  کمک می‌گیریم که از نگاشت عناصر فیزیکی به عناصر محاسباتی به دست می‌آیند. بنابراین توابع پایه‌ای 8 را به صورت زیر می‌نویسیم:

$$\varphi_{i,j}(\xi, \eta) = \begin{cases} (1-\xi)(1-\eta), & 0 \leq \xi \leq 1, 0 \leq \eta \leq 1 \\ (1+\xi)(1-\eta), & -1 \leq \xi \leq 0, 0 \leq \eta \leq 1 \\ (1+\xi)(1+\eta), & -1 \leq \xi \leq 0, -1 \leq \eta \leq 0 \\ (1-\xi)(1+\eta), & 0 \leq \xi \leq 1, -1 \leq \eta \leq 0 \\ 0, & \text{Otherwise} \end{cases} \quad 10$$

از آنجایی که در همسایگی نقاط درونی  $(x_i, y_j)$ ، 9 نقطه و 4 عنصر داریم، بنابراین ماتریس سختی

که در آن  $n_x = 0, 1, \dots, N_x$  و  $n_y = 0, 1, \dots, N_y$ . اکنون می‌توان نوشت:

$$(\hat{H} - E\hat{I})\psi_n = 0 \quad 7$$

که در آن  $\hat{H}$  ماتریس هامیلتونی و  $\hat{I}$  ماتریس همانی و هر دو با ابعاد  $(N_x \times N_y) \times (N_x \times N_y)$  می‌باشند. معادله 7 یک معادله ویژه مقدار ماتریسی با مجهول  $E$  است که باید با استفاده از روش‌های جبر خطی عددی حل شود. برای دستیابی به دقت خوب، لازم است تعداد تقسیم‌بندی شبکه افزایش داده شود یا تقریب شبکه صورت گیرد، همچنین به دلیل تنگ بودن ماتریس هامیلتونی، در اینجا از الگوریتم آرنولدی برای قطری‌سازی آن استفاده می‌کنیم. الگوریتم آرنولدی در ضمیمه 1 شرح داده شده است.

### روش عناصر محدود

در روش عناصر محدود، دامنه مسئله مورد نظر که ممکن است دارای شکل هندسی پیچیده و نامنظم باشد، به تعدادی زیردامنه، غیرهمپوشانی به نام عنصر یا جزء با شکل هندسی منظم مانند مربع، مستطیل یا مثلث تقسیم می‌شود و سپس توابع پایه‌ای روی عناصر یا نقاط گوشه‌ای آنها تعریف می‌شوند. اگر  $n_x$  و  $n_y$  تعداد گره‌ها در طول محورهای  $x$  و  $y$  باشند، برای حالت منظم، اندازه گام مربوطه در این جهات  $h_x = \frac{1}{n_x}$  و  $h_y = \frac{1}{n_y}$  می‌باشد. همچنین داریم  $0 = x_0 < x_1 < \dots < x_{n_x} = 1$ ،  $y_j = a_y + jh_y$ ،  $0 = y_0 < y_1 < \dots < y_{n_y} = 1$ ، اکنون، توابع پایه‌ای دو خطی بر روی عناصر مستطیلی به صورت زیر نوشته می‌شود:

<sup>1</sup> Isoparametric elements

جواب نهایی حاصل از این روش، از نوع ضعیف، تعمیم یافته و از ردهٔ  $C^0$  است. با کمک انتگرال‌گیری از معادلات 12 سه نوع ماتریس بلوک سه-قطری (روی اقطار 1، 0، -1) داریم. برای ماتریس  $M_1$  عناصر ماتریسی در نقاط  $(i,j)$ ،  $(i+1,j)$ ،  $(i,j+1)$  و  $(i+1,j+1)$  به ترتیب برابر  $\frac{1}{3h_x^2} + \frac{1}{3h_y^2}$ ،  $-\frac{1}{6h_x^2} + \frac{1}{6h_y^2}$ ،  $-\frac{1}{6h_x^2} - \frac{1}{6h_y^2}$  و  $\frac{1}{6h_x^2} - \frac{1}{6h_y^2}$  است. برای ماتریس  $M_2$

عناصر ماتریسی در نقاط  $(i,j)$ ،  $(i+1,j)$ ،  $(i,j+1)$  و  $(i+1,j+1)$  به ترتیب برابر  $\int_0^1 \int_0^1 V(\xi, \eta) (1-\eta)^2 (1-\xi)^2 d\xi d\eta$ ،  $\int_0^1 \int_0^1 V(\xi, \eta) (1-\eta)^2 (1-\xi) \xi d\xi d\eta$ ،  $\int_0^1 \int_0^1 V(\xi, \eta) \eta (1-\eta) (1-\xi)^2 d\xi d\eta$  و  $\int_0^1 \int_0^1 V(\xi, \eta) \eta \xi (1-\eta) (1-\xi) d\xi d\eta$  است. برای

ماتریس  $M_3$  عناصر ماتریسی در نقاط  $(i,j)$ ،  $(i+1,j)$ ،  $(i,j+1)$  و  $(i+1,j+1)$  به ترتیب برابر  $\frac{1}{3 \cdot 6}$ ،  $\frac{1}{6 \cdot 3}$ ،  $\frac{1}{3 \cdot 3}$  و  $\frac{1}{6 \cdot 6}$  است. بعد از محاسبه ماتریس‌های بزرگ  $M_1$ ،  $M_2$  و  $M_3$ ، سیستم معادلات خطی ویژه مقداری تعمیم یافته زیر تولید خواهد شد:

$$-\alpha M_1 \psi + M_2 \psi = E M_3 \psi \quad 15$$

که در آن  $E$  ویژه‌مقادیر انرژی و  $\psi$  ویژه توابع متناظر را به ما خواهد داد.

### روش بدون شبکه

در روش بدون شبکه با توابع پایه ای شعاعی به منظور تقریب معادلهٔ 1، تابع پایه شعاعی چند مربعی<sup>3</sup> زیر را انتخاب می‌کنیم [31-32]:

هامیلتونی نهایی معادلهٔ 1، تنک و نواری بوده و حداکثر 9 لایهٔ قطری غیر صفر دارد و بنابراین یک ماتریس بلوکی سه-قطری<sup>1</sup> می‌شود. هر یک از این بلوک‌ها، مربعی،  $4 \times 4$  و متقارن هستند. اکنون با جای‌گذاری درونیاب 8 در معادلهٔ 1، مانده را به صورت زیر می‌یابیم:

$$R(x, y) = \alpha \Delta \bar{\psi}(x, y) + V(x, y) \bar{\psi}(x, y) - E \bar{\psi}(x, y) \quad ; \quad x \in \Omega \quad 11$$

که در حالت کلی مخالف صفر است، سپس با کمک روش گالرکین داریم:

$$\iint_{\Omega} R(x, y) \varphi_{i,j}(x, y) dx dy = 0, \quad 12 \text{ الف}$$

$$i=1, \dots, n_x-1, j=1, \dots, n_y-1$$

به‌طور دقیقتر و محدود به تکیه‌گاه عناصر می‌توان نوشت:

$$\int_{y_{j-1}^{x_{i-1}}}^{y_{j+1}^{x_{i+1}}} R(x, y) \varphi_{i,j}(x, y) dx dy = 0 \quad 12 \text{ ب}$$

و پس از تغییر متغیر و نرمالیزه‌سازی متغیرها داریم:

$$\int_{-1}^1 \int_{-1}^1 R(\xi, \eta) \varphi_{i,j}(\xi, \eta) h_x h_y d\xi d\eta = 0 \quad 12 \text{ ج}$$

در ادامه برای حل انتگرال 12، به حالت خاصی از قضیه گرین به صورت زیر نیاز داریم: [30]

$$\iint_{\Omega} \Phi \Delta \bar{U} d\Omega + \iint_{\Omega} \nabla \Phi \cdot \nabla \bar{U} d\Omega = \quad 13$$

$$\iint_{\Gamma} \Phi \frac{\partial \bar{U}}{\partial n} d\Gamma$$

به‌خاطر شرایط مرزی دیریکله و تباهیده<sup>2</sup> و در نتیجه با حذف انتگرال مرزی، این معادله را می‌توان به صورت زیر نوشت:

$$\iint_{\Omega} \Phi \Delta \bar{U} d\Omega = - \iint_{\Omega} \nabla \Phi \cdot \nabla \bar{U} d\Omega \quad 14$$

<sup>3</sup> multi-quadric

<sup>1</sup> blocked tri-diagonal

<sup>2</sup> degenerate

$$\tilde{\psi}(p) = \sum_{j=0}^N \eta_j(p) \psi_j \quad 22$$

که در آن توابع  $\eta_j(p)$  ساخته شده از طریق روش بدون شبکه دارای خاصیت درونیابی می‌باشند یعنی  $\eta_j(p_i) = \delta_{\{i,j\}}$ . در ادامه از بسط 22 استفاده کرده تا جواب تقریبی معادله 1 را بیابیم. برای این منظور از رابطه 22 برای یافتن مانده، به صورت زیر استفاده می‌شود:

$$R(p) = \alpha \Delta \tilde{\psi}(p) + V(p) \tilde{\psi}(p) - E \tilde{\psi}(p) \quad 23$$

با کمک روش هم‌مکانی (روش باقیمانده وزندار با وزن دلتای دیراک) داریم:

$$R(p_i) = 0; \quad i = 0, 1, \dots, N \quad 24$$

در این معادله از نقاط مرزی صرف نظر می‌کنیم زیرا مقادیر آنها در مرز معلوم و برابر صفر است. بنابراین به بسط زیر می‌رسیم:

$$\alpha \sum_{j=0}^N \psi_j \Delta \eta_j(p_i) + V(p_i) \sum_{j=0}^N \psi_j \eta_j(p_i) - E \sum_{j=0}^N \psi_j \eta_j(p) = 0; \quad i = 0, 1, \dots, N \quad 25$$

حال اگر ماتریس های زیر را تعریف کنیم:

$$M_1 = \alpha \{ \Delta \eta_j(p_i) \}_{i,j=0}^N \quad \text{الف} \quad 26$$

$$M_2 = \{ V(p_i) \eta_j(p_i) \}_{i,j=0}^N \quad \text{ب} \quad 26$$

$$M_3 = \{ \eta_j(p_i) \}_{i,j=0}^N \quad \text{ج} \quad 26$$

معادله ویژه‌مقداری تعمیم یافته زیر ساخته می‌شود:

$$M_1 \psi + M_2 \psi = (M_1 + M_2) \psi = E M_3 \psi \quad 27$$

که در آن E ویژه‌مقادیر انرژی و بردارهای  $\psi$  ویژه توابع متناظر هستند.

$$\phi_j(x) = \frac{1}{\sqrt{(x-x_j)^2 + (y-y_j)^2 + c_{mf}^2}} \quad 16$$

$$; \quad j = 0, 1, 2, \dots, N$$

که در آن  $c_{mf}$  یک پارامتر آزاد، کوچک و مثبت است که به صورت تجربی انتخاب می‌شود. در روش تقریب بدون شبکه مورد نظر، تقریب تابع موج به صورت زیر و از ترکیب خطی توابع پایه بر روی نقاط درونی دامنه انتخاب می‌شود:

$$\tilde{\psi}(p) = \sum_{j=0}^N \alpha_j \phi_j(p) \quad 17$$

که در آن ضرایب  $\alpha_j$  برای  $j = 0, 1, 2, \dots, m$  مجهولات مسئله هستند و  $p = (x, y)$

در اینجا، توزیع نقاط  $\{p_j\}_{j=0}^N$  را به طور یکنواخت (نه تصادفی محض و نا منظم) و در دامنه و روی مرز دامنه انتخاب کرده‌ایم. با کمک روش هم‌مکانی یا هم‌محلی<sup>1</sup> روی نقاط  $\{p_j\}_{j=0}^N$  به سیستم معادلات خطی زیر می‌رسیم:

$$\tilde{\psi}(p_i) = \sum_{j=0}^N \alpha_j \phi_j(p_i) \quad 18$$

$$; \quad i = 0, 1, \dots, N$$

که سیستم فوق، به صورت ماتریسی و فشرده زیر تبدیل می‌شود:

$$\Psi = A \alpha \quad 19$$

بنابراین  $\alpha = A^{-1} \Psi$  با جایگزینی عبارت  $\alpha$  در معادله 17 به رابطه بدون  $\alpha$  زیر می‌رسیم:

$$\tilde{\psi}(p) = [\varphi_0(p), \varphi_1(p), \dots, \varphi_N(p)] \alpha = [\varphi_0(p), \varphi_1(p), \dots, \varphi_N(p)] A^{-1} \Psi$$

اکنون اگر

$$[\eta_0(p), \eta_1(p), \dots, \eta_N(p)] = [\varphi_0(p), \varphi_1(p), \dots, \varphi_N(p)] A^{-1} \quad 21$$

معادله 17 را می‌توان به صورت زیر بازنویسی کرد:

<sup>1</sup> Collocation

## نتایج و بحث:

در این بخش به منظور مقایسه روش‌های ارائه شده در بالا، به بررسی تعدادی مثال خواهیم پرداخت. در ابتدا با مقایسه این روش‌ها با مقادیر دقیق، دقت روش‌ها را بررسی خواهیم کرد. سپس با ارائه مثال‌های کاربردی در فیزیک، قدرت روش‌ها را در حل مثال‌های واقعی‌تر خواهیم آزمود. در روش المان محدود از پایه‌های مربعی استفاده کرده‌ایم.

ضریب  $\alpha$  در معادله 1 در مثال‌های زیر با کمک رابطه  $\alpha = \hbar^2 / 2m^*$  به دست آمده است. جرم مؤثر استفاده شده نیز برابر  $m^* = 0.068m_0$  در نظر گرفته شده است. طول‌ها هم به یک آنگستروم نرمال شده‌اند.

مثال 1:

یک ذره محبوس شده در جعبه کوآتومی دو بعدی با فرض  $V(x,y) = 0$  در معادله 1 به دست می‌آید. در اینجا چاه کوآتومی متشکل از نیم‌رسانای GaAs با طول چاه  $L_x = L_y = 100$  و ضریب  $\alpha = 56.0292$  را مورد بررسی قرار خواهیم داد. پاسخ‌های دقیق به صورت زیر خواهند بود [33]:

$$E_{n,m}^{exact} = \pi^2 \alpha \left( \frac{n^2}{L_x^2} + \frac{m^2}{L_y^2} \right); n, m = 1, 2, \dots \quad 28$$

جدول 1 نتایج عددی حاصل از حل معادله 1 را به دست می‌دهد. در این جدول 10 ویژه‌مقدار کمترین را نشان می‌دهد. این جداول برای نشان دادن این نکته که دقت هر کدام از روش‌ها چه میزان است، ارائه شده‌اند. همچنین از روی این جداول می‌توان کمیت‌های دیگری نظیر انرژی‌های گذار زیرنوری و ویژگی‌های جذب نور در این سیستم‌های نانو ساختاری نیم‌رسانا را نیز به دست آورد که هدف این مقاله نیست. همان‌طور که از این جدول بر می‌آید، در روش تفاضل محدود ویژه‌مقادیر پایین‌تر دارای دقت بالاتری است و با افزایش شماره ویژه‌مقدار دقت کم می‌شود. برای

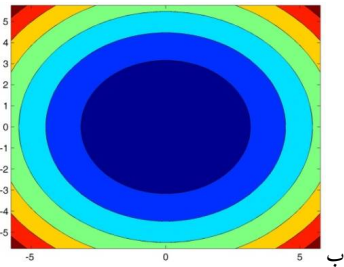
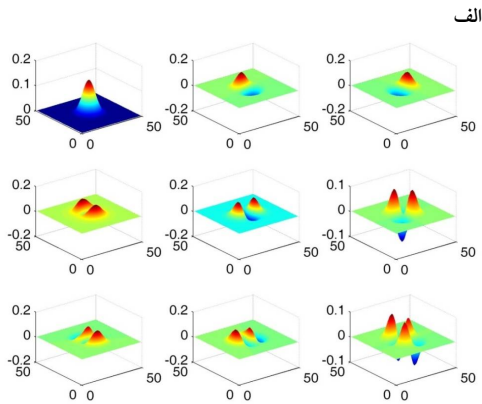
افزایش دقت روش تفاضل محدود، تعداد برش‌ها در هر جهت را از 20 به 50 افزایش دادیم که دقیقتر شدن روش با مقایسه نتایج با مقادیر دقیق مشهود است. در این مثال روش المان محدود در تعداد برش یکسان از دقت کمتری از روش تفاضل محدود برخوردار است. در روش المان محدود نیز ویژه‌مقادیر پایین‌تر دارای دقت بالاتری است و با افزایش شماره ویژه‌مقدار دقت کم می‌شود.

جدول 1. ده ویژه‌مقدار پایین مثال 1.

	FDM(20*20)	FDM(50*50)	FEM(20*20)	FEM(30*30)	Meshless(20*20)	Exact
E <sub>1</sub>	0.110391	0.110562	0.1108248	0.110698	0.110948	0.110597
E <sub>2</sub>	0.2747448	0.276196	0.278431	0.277353	0.277556	0.276493
E <sub>3</sub>	0.274744	0.276196	0.278431	0.277353	0.277556	0.276493
E <sub>4</sub>	0.439098	0.441829	0.4460392	0.444008	0.444848	0.442389
E <sub>5</sub>	0.544585	0.551554	0.562376	0.5571432	0.554671	0.552986
E <sub>6</sub>	0.544585	0.551554	0.562376	0.5571432	0.555072	0.552986
E <sub>7</sub>	0.708939	0.717187	0.729983	0.7237982	0.723085	0.718882
E <sub>8</sub>	0.708939	0.717187	0.729983	0.7237982	0.723085	0.718882
E <sub>9</sub>	0.913884	0.935591	0.969664	0.9531379	0.942811	0.940076
E <sub>10</sub>	0.913884	0.935591	0.969664	0.9531379	0.942811	0.940076

ولی در روش بدون شبکه، ویژه‌مقادیر بالاتر نیز دارای دقت بالایی هستند. بنابراین دقیق‌ترین روش در این مثال، روش بدون شبکه و کم‌دقت‌ترین روش، روش المان محدود است. در مجموع، مقایسه‌ها نسبی است و می‌توان با ارتقای هر روش، جواب‌های بهتری به دست آورد. در روش عناصر متناهی، از توابع پایه‌ای دوخطی استفاده شده است. در شکل 1 توابع موج متناظر با ده کمترین ویژه‌مقدار در مثال 1 نشان داده شده است.

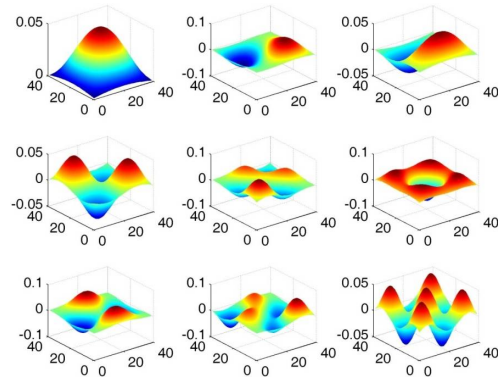




شکل 2. الف: توابع موج متناظر با 9 کمترین ویژه مقدار در مثال 2 ب: شکل پتانسیل.

در این مثال نیز، دقیقترین روش، روش بدون شبکه و کم‌دقت‌ترین روش، روش المان محدود است ولی دقت روش بدون شبکه به‌طور قابل توجهی از دو روش دیگر بیشتر است. در شکل 2 نیز توابع موج متناظر با ده عدد از کمترین ویژه مقدار، در مثال 2 نشان داده شده است. همان‌طور که می‌دانیم، قله تابع موج روی دره تابع پتانسیل قرار می‌گیرد به شرطی که چاه پتانسیل ایجاد شده به اندازه کافی عمیق باشد. در این شکل مشاهده می‌کنیم که تابع پتانسیل باعث متمرکز شدن توابع موج در مرکز سیستم یعنی کمینه تابع پتانسیل ارائه شده در این شکل شده است. این جمع شدن، می‌تواند با مقایسه توابع موج شکل 2 و شکل 1 حاصل شود. چرا که در شکل 1 که تابع پتانسیل نداریم، توابع موج در کل دامنه فضایی مورد بررسی گسترده شده‌اند.

مثال 3:



شکل 1. توابع موج متناظر با 9 کمترین ویژه مقدار در مثال 1.

مثال 2:

در این مثال یک نوسانگر هماهنگ دوبعدی با پتانسیل  $V(x,y) = 0.5m^*(x^2 + y^2)$  و پارامترهای اولیه  $\alpha = 1/2m^*$  و  $m^* = 1$  و طول بازه  $L=12$  برای هر دو جهت X و Y در نظر گرفته‌ایم.

جدول 2. ده ویژه مقدار پایین مثال 2.

	FDM(20*20)	FDM(50*50)	FEM(20*20)	FEM(30*30)	Meshless (20*20)	Exact
E <sub>1</sub>	0.97914 7	0.99652 7	1.022368	1.0099 72	1.000287	1
E <sub>2</sub>	1.93645 4	1.98955 8	2.065695	2.0296 43	2.001033	2
E <sub>3</sub>	1.93645 4	1.98955 8	2.065695	2.0296 43	2.001033	2
E <sub>4</sub>	2.84829 1	2.97555 7	3.109022	3.0493 13	3.002332	3
E <sub>5</sub>	2.84829 1	2.97555 7	3.149300	3.0684 01	3.002676	3
E <sub>6</sub>	2.89376 0	2.98258 9	3.149300	3.0684 01	3.003229	3
E <sub>7</sub>	3.71046 5	3.95444 7	4.192627	4.0880 71	4.004918	4
E <sub>8</sub>	3.71046 5	3.95444 7	4.192627	4.0880 71	4.004918	4
E <sub>9</sub>	3.80559 7	3.96858 8	4.269797	4.1256 20	4.007320	4
E <sub>10</sub>	3.80559 7	3.96858 8	4.269797	4.1256 20	4.007320	4

مقادیر دقیق ویژه مقدارهای انرژی از رابطه زیر به دست می‌آید [33]:

$$E_{n,m}^{exact} = (n + 0.5) + (m + 0.5); n, m = 0, 1, 2, \dots$$

$\alpha = 1$  و  $L=20$  و  $\theta = \pi / 5$  و  $\text{width}=3$  و  $b=2$

$$y_1(x) = b \cdot \tan(\theta) \cdot \text{Ln}(\cosh(x/b)) + \text{width}/2$$

و  $y_2(x) = y_1(x) - \text{width}$  در نظر گرفته شده است.

جدول 3. ده ویژه مقدار پایین مثال 3.

	FDM(2 0*20)	FDM(5 0*50)	FEM(2 0*20)	FEM(3 0*30)	Meshless (20*20)	Ref [11]
E <sub>1</sub>	3.1467 89	3.1877 01	3.2492 27	3.2196 00	3.196260	3.195 918
E <sub>2</sub>	5.3695 34	5.5007 21	5.6925 29	5.6010 87	5.528214	5.526 743
E <sub>3</sub>	5.3695 34	5.5007 21	5.6925 29	5.6010 87	5.528214	5.526 743
E <sub>4</sub>	7.2053 37	7.5003 79	7.9149 83	7.7199 75	7.561474	7.557 803
E <sub>5</sub>	7.6736 28	7.9730 31	8.3931 04	8.1956 17	8.036155	8.031 272
E <sub>6</sub>	8.0834 69	8.3849 99	8.8220 33	8.6144 19	8.449989	8.444 581
E <sub>7</sub>	9.2813 28	9.8246 92	10.554 777	10.216 450	9.937653	9.928 061
E <sub>8</sub>	9.2813 28	9.8246 92	10.554 777	10.216 450	9.937653	9.928 061
E <sub>9</sub>	10.621 810	11.199 414	12.010 264	11.629 373	11.32669	11.31 1817
E <sub>10</sub>	10.621 810	11.199 414	12.010 264	11.629 373	11.32669	11.31 1817

جدول 4. ده ویژه مقدار پایین مثال 4.

	FDM (20*20)	FDM (50*50)	FEM (20*20)	FEM (30*30)	Meshless (20*20)
E <sub>1</sub>	0.404723	0.434559	0.452695	0.446504	0.436988
E <sub>2</sub>	0.513227	0.529109	0.546016	0.539169	0.527796
E <sub>3</sub>	0.572534	0.608164	0.630255	0.620870	0.609990
E <sub>4</sub>	0.739132	0.749946	0.779216	0.765290	0.761614
E <sub>5</sub>	0.863626	0.894499	0.940092	0.920185	0.916752
E <sub>6</sub>	1.012672	1.085495	1.101847	1.099330	1.085048
E <sub>7</sub>	1.070434	1.094259	1.140625	1.116045	1.096337
E <sub>8</sub>	1.171426	1.174796	1.184586	1.179613	1.174212
E <sub>9</sub>	1.172484	1.177421	1.185461	1.181489	1.177525
E <sub>10</sub>	1.191685	1.262532	1.101847	1.116045	1.244563

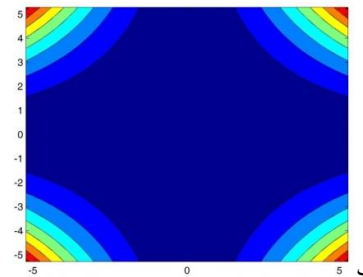
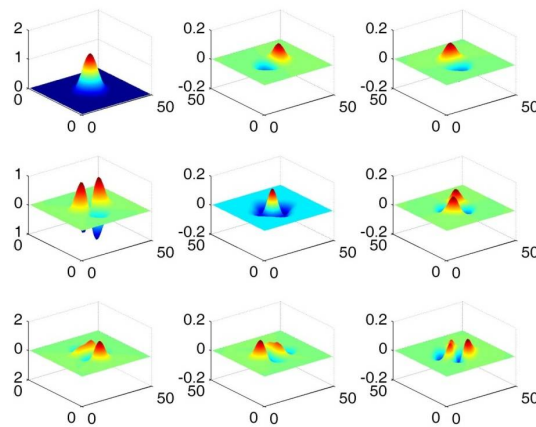
این شکل پتانسیل برگرفته از شده از مراجع [35-36] می‌باشد. این یک مثال کاربردی است که برای بررسی ویژگی‌های نوری سیم‌های کوانتومی استفاده می‌شود. با کمک این ساختارها می‌توان حسگرهای نوری در بازه فرکانسی تراهرتز ساخت. نزدیک بودن ویژه مقادیر به دست آمده از روش‌های مختلف نشان دهنده همگرایی روش‌ها به مقادیر واقعی می‌باشد.

مثال 5:

در این مثال، شکل پتانسیل  $V(x,y) = \sin^2\left(\frac{\pi x}{L_x}\right) + \sin^2\left(\frac{\pi y}{L_y}\right)$ ، با ضریب  $\alpha = 1$  و طول  $L_x = L_y = 20$  در نظر گرفته شده است. این شکل

در این مثال، شکل پتانسیل از مرجع [34] به شکل  $V(x,y) = (1+x^2)(1+y^2)$  انتخاب شده است. همچنین ضریب در معادله 1 برابر  $\alpha = 1$  و طول سیستم در راستاهای  $x$  و  $y$  برابر  $L=11$  در نظر گرفته شده است.

الف



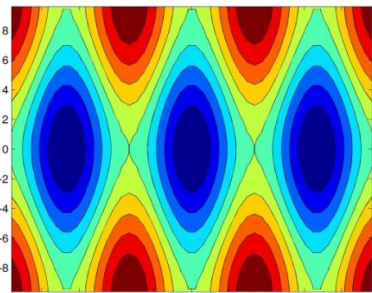
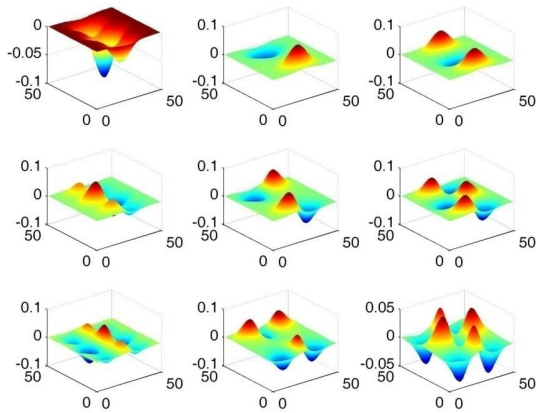
شکل 3. الف: توابع موج متناظر با 9 کمترین ویژه مقدار در مثال 3. ب: شکل پتانسیل.

نتایج برای ده ویژه مقدار اول و ده ویژه بردار اول در جدول 3 و شکل 3 داده شده است.

مثال 4:

در این مثال یک سیم کوانتومی به شکل  $V$  با شکل پتانسیل  $V(x,y) = \begin{cases} 0 & ; y_1(x) < y < y_2(x) \\ 1 & ; \text{Otherwise} \end{cases}$  و ضرایب

الف



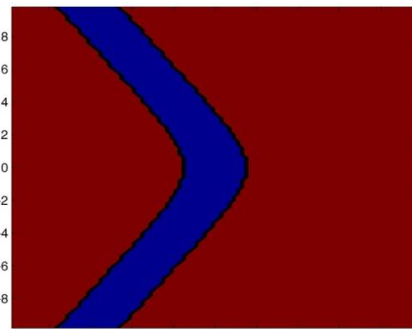
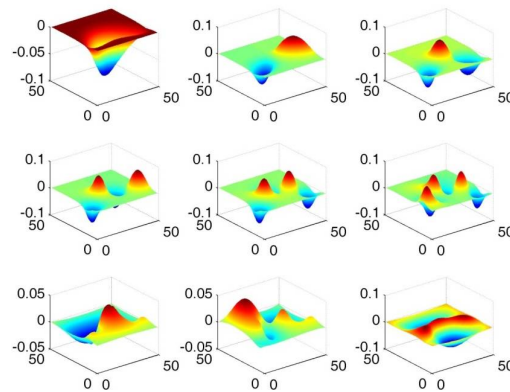
شکل 3. الف: توابع موج متناظر با 9 کمترین ویژه مقدار در مثال 5. ب: شکل پتانسیل.

### نتیجه گیری

در این مقاله، سه روش عددی: (1) تفاضلات متناهی، (2) اجزاء محدود و (3) روش توابع پایه‌ای شعاعی چند مربعی بدون شبکه برای حل مسئله دوبعدی شرودینگر غیر وابسته زمانی و مسئله ویژه‌مقداری بر روی دامنه مستطیلی با شرایط مرزی همگن تباهیده و در شرایط یکسان (از نظر تعداد گره‌ها)، در قالب پنج مثال با پتانسیل‌های مختلف، متنوع و پر کاربرد در زمینه‌های مختلف فیزیکی مانند نانو اعمال شده و نتایج عددی حاصل با دقت بالا با همدیگر و با جواب دقیق مقایسه شده‌اند. روش تفاضلات متناهی، تقریب روی نقاط شبکه را می‌دهد. روش عناصر محدود، جواب از نوع ضعیف و تعمیم یافته، به صورت تابع از رده  $C^0$  می‌دهد.

پتانسیل می‌تواند برای ساختن شبکه‌های نوری مورد استفاده قرار گیرد. نتایج برای ده ویژه‌مقدار اول و ده ویژه‌بردار اول در جدول 5 و شکل 5 داده شده است.

الف



شکل 4. الف: توابع موج متناظر با 9 کمترین ویژه مقدار در مثال 4. ب: شکل پتانسیل.

جدول 5. ده ویژه مقدار پایین مثال 5.

	FDM (20*20)	FDM (50*50)	FEM (20*20)	FEM (30*30)	Meshless (20*20)
E <sub>1</sub>	0.530424	0.537743	0.548284	0.543278	0.539455
E <sub>2</sub>	0.562792	0.570539	0.581581	0.576356	0.572975
E <sub>3</sub>	0.582350	0.590552	0.602209	0.596699	0.592884
E <sub>4</sub>	0.813436	0.824211	0.839816	0.832404	0.826703
E <sub>5</sub>	0.845804	0.857007	0.873113	0.865481	0.860430
E <sub>6</sub>	0.865362	0.877020	0.893741	0.885824	0.880265
E <sub>7</sub>	1.064780	1.080982	1.104224	1.093230	1.084660
E <sub>8</sub>	1.097149	1.113778	1.137521	1.126308	1.118447
E <sub>9</sub>	1.116707	1.133791	1.158149	1.146651	1.138304
E <sub>10</sub>	1.130118	1.146527	1.168916	1.158454	1.150474

[https://doi.org/10.1016/S1386-9477\(03\)00382-5](https://doi.org/10.1016/S1386-9477(03)00382-5)

[6] M. Solaimani, Stark shift of binding energy for on and off-center donor impurities in quantum rings under the influence of charged rods electric fields, *Solid State Sciences* **108** (2020) 106386. <https://doi.org/10.1016/j.solidstatescience.2020.106386>

[7] M. Solaimani, Miniband Formation in GaN/AlN Constant-Total-Effective-Radius Multi-shell Quantum Dots, *Chinese Physics Letters*. **32** (2015) 117304. <https://doi.org/10.1088/0256-307X/32/11/117304>

[8] C. Galeriu, L.C. Lew Yan Voon, R. Melnik, M. Willatzen, Modeling a nanowire superlattice using the finite difference method in cylindrical polar coordinates, *Computer Physics Communications*, **157** (2004) 147-159. [https://doi.org/10.1016/S0010-4655\(03\)00493-4](https://doi.org/10.1016/S0010-4655(03)00493-4)

[9] J.S. Dehesa, J.A. Porto, F.A. Rueda, F. Meseguer, Electronic energy levels of quantum well wires, *Journal of Applied Physics*, **73** (1993) 5027-5031. <https://doi.org/10.1063/1.353772>

[10] Y. Tsuji, M. Koshiba, Analysis of complex eigenenergies of an electron in two- and three-dimensionally confined systems using the weighted potential method, *Microelectronics Journal*, **30** (1999) 1001-1006. [https://doi.org/10.1016/S0026-2692\(99\)00062-2](https://doi.org/10.1016/S0026-2692(99)00062-2)

[11] S. Gangopadhyay, B.R. Nag, Energy levels in finite barrier triangular and arrowhead-shaped quantum wires, *Journal of Applied Physics*, **81** (1997). 7885-7889. <https://doi.org/10.1063/1.365361>

[12] J.S. Walker, *Fourier Analysis*, Oxford Univ. Press (1988).

[13] A. Mayer, Band-structure and transport calculations in quantum wires using a transfer-matrix technique, *Physical*

همچنین، روش بدون شبکه جواب کلاسیک و به صورت تابع هموار از رده  $C^\infty$  به ما می‌دهد. سه روش عددی به کار رفته در این مقاله برای دیگر معادلات با بعدهای مختلف، معادلات وابسته زمانی، با دامنه‌های با شکل هندسی غیر مربعی و با شرایط مرزی نیومان و مخلوط قابل تعمیم است. همچنین نشان داده شد که تحت شرایط مفروض، اندازه ویژه‌مقادیر مسئله، در روش تفاضلات محدود از پایین و در روش المان محدود از بالا به مقادیر واقعی نزدیک می‌شود.

### مرجع‌ها

[1] M. Solaimani, M. Ghalandari, L. Lavaei, Donor impurity effects on optical properties of GaN/AlN constant total effective radius multishell quantum dots, *Journal of the Optical Society of America B* **33** (2016) 420-125. <https://doi.org/10.1364/JOSAB.33.00420>

[2] J. Burki, C.A. Stafford, X. Zotos, D. Baeriswyl, Cohesion and conductance of disordered metallic point contacts, *Physical Review B*, **60** (1999) 5000-5008. <https://doi.org/10.1103/PhysRevB.60.5000>

[3] X.Z. Duan, X.J. Kong, Electron and hole states and the exciton diamagnetic shifts in an InAs/InP rectangular quantum wire in a magnetic field, *Journal of Applied Physics* **104** (2008) 113720. <https://doi.org/10.1063/1.3039800>

[4] B.S. Monozon, P. Schmelcher, Resonant Franz-Keldysh exciton effect in the narrow biased quantum wire subject to a strong magnetic field, *Physical Review B* **79** (2009) 165314. <https://doi.org/10.1103/PhysRevB.79.165314>

[5] E. Kasapoglu, H. Sari, I. Sokmen, Geometrical effects on shallow donor impurities in quantum wires, *Physica E* **19** (2003) 332-335.

- [22] R. Saha, P. Chaudhury, S.P. Bhattacharyya, Direct solution of Schrödinger equation by genetic algorithm: test cases, *Physics Letters A* **291** (2001) 397-406. [https://doi.org/10.1016/S0375-9601\(01\)00704-6](https://doi.org/10.1016/S0375-9601(01)00704-6)
- [23] J. Biazar, H. Ghazvini, Exact solutions for non-linear Schrödinger equations by He's homotopy perturbation method, *Physics Letters A* **366** (2007) 79-84. <https://doi.org/10.1016/j.physleta.2007.01.060>
- [24] M. Pillai, J. Goglio, T.G. Walker, Matrix Numerov method for solving Schrödinger's equation, *American Journal of Physics* **80** (2012) 1017. <https://doi.org/10.1119/1.4748813>
- [25] H. Van de Vyver, Comparison of some special optimized fourth-order Runge-Kutta methods for the numerical solution of the Schrödinger equation, *Computer Physics Communications* **166** (2005) 109-122. <https://doi.org/10.1016/j.cpc.2004.11.002>
- [26] J.D. Lambert, *Numerical methods for ordinary differential systems*, Wiley (1991).
- [27] M. Solaimani, S. M. A. Aleomraninejad, Optical Properties of Energy-Dependent Effective Mass GaAs/GaxIn<sub>1-x</sub>As and GaAs/AlxGa<sub>1-x</sub>As Quantum Well Systems: A Shooting Method Study, *J. Electron. Mater.* **48** (2019) 942-950. <https://doi.org/10.1007/s11664-018-6813-5>
- [28] D. El-Moghraby, R.G. Johnson, P. Harrison, Calculating modes of quantum wire and dot systems using a finite differencing technique, *Computer Physics Communications* **150** (2003) 235-246. [https://doi.org/10.1016/S0010-4655\(02\)00690-2](https://doi.org/10.1016/S0010-4655(02)00690-2)
- [29] K. Nouroozi, S.M.A. Aleomraninejad, M. Solaimani, B. Farnam, Computation of the linear Schrodinger Energy levels by Sinc method, *Journal of New Researches in Mathematics*, **3** (2017) 81-90. *Chemistry News*, **16** (2004) 46-53. <http://dx.doi.org/10.1116/1.3698600>
- [14] P. Sudhira, B.K. Panda, S. Fung, C.D. Beling Electric field effect on the diffusion modified AlGaAs/GaAs single quantum well, *Journal of Applied Physics*, **80** (1996) 1532-1540. <https://doi.org/10.1063/1.362948>
- [15] G.D. Smith, *Numerical Solution Of Partial Differential Equations: Finite Difference Methods*, Oxford University Press (1986).
- [16] C.A.J. Fletcher, *Computational Techniques for Fluid Dynamics I*, Springer (1988).
- [17] R. Samir, P. Hideaki, E.B. Harvey Quasibound states in semiconductor quantum well structures, *Superlattices and Microstructures*, **47** (2010) 288-299. <https://doi.org/10.1016/j.spmi.2009.10.016>
- [18] B. Dietrich, *Finite elements: theory, fast solvers, and applications in elasticity theory*, Cambridge University Press (2007).
- [19] H. Ciftci, R.L. Hall, N. Saad, Asymptotic iteration method for eigenvalue problems, *Journal of Physics A: Mathematical Gen.* **36** (2003) 11807-11816. <https://doi.org/10.1088/0305-4470/36/47/008>
- [20] M.A. Martin-Delgado, G. Sierra, R.M. Noack, The density matrix renormalization group applied to single-particle quantum mechanics, *Journal of Physics A: Mathematical Gen.* **32** (1999) 6079-6090. <https://doi.org/10.1088/0305-4470/32/33/306>
- [21] D.V. Melnikov, L.-X. Zhang, J.-P. Leburton, Exchange coupling between two electrons in double quantum dot structures, *Current Opinion in Solid State and Materials Science* **10** (2006) 114-119. <https://doi.org/10.1016/j.cossms.2006.11.004>

[33] S. Gasiorowicz, *Quantum Physics*, John Wiley. (2003).

[34] L.G. Ixaru, New numerical method for the eigenvalue problem of the 2D Schrödinger equation, *Computer Physics Communications*, **181** (2010) 1738-1742. <https://doi.org/10.1016/j.cpc.2010.06.031>

[35] R. Khordad, Diamagnetic susceptibility of hydrogenic donor impurity in a V-groove GaAs/Ga<sub>1-x</sub>Al<sub>x</sub>As quantum wire, *European Physical Journal B* **78** (2010) 399-403 <https://doi.org/10.1140/epjb/e2010-10290-x>

[36] E. Sadeghi, R. Khordad, Analytical solution for V-groove quantum wire with an effective potential scheme, *physica status solidi B*, **242**(2005) 1628-1635. <https://doi.org/10.1002/pssb.200540051>

[http://jnrm.srbiau.ac.ir/article\\_11165\\_fa.html](http://jnrm.srbiau.ac.ir/article_11165_fa.html)

[30] G.B. Arfken, H.J. Weber, F.E. Harris, *Mathematical Methods for physics*, Academic Press (2012).

[31] M. Ghorbani, Diffuse Element Kansa Method, *Applied Mathematical Sciences*, **4** (2010) 583-594. <http://www.m-hikari.com/ams/ams-2010/ams-9-12-2010/ghorbaniAMS9-12-2010.pdf>

[32] L. Jichun, Y.C. Honb, C.S. Chen Numerical comparisons of two meshless methods using radial basis functions, *Engineering Analysis with Boundary Elements*, **26** (2002) 205-225. [https://doi.org/10.1016/S0955-7997\(01\)00101-1](https://doi.org/10.1016/S0955-7997(01)00101-1)

اکنون با کمک فرض اورتونرمال بودن پایه داریم:

$$v_1 T A v_1 = h_{11} \text{ and } v_2 A v_1 = h_{21} \quad \text{الف 3}$$

$$A v_2 = v_1 h_{12} + v_2 h_{22} + v_3 h_{32}, \quad \text{الف 4}$$

پس: الف 5

$$v_1 T A v_2 = h_{12}, \quad v_2 T A v_2 = h_{22} \text{ and } v_3 T A v_2 = h_{32}$$

به فرم ماتریسی می‌توان نوشت:

$$[A v_1 \quad A v_1 \quad \dots] = [v_1 \quad v_1 \quad \dots] \begin{bmatrix} h_{11} & h_{12} & \dots \\ h_{21} & h_{22} & \dots \\ 0 & h_{32} & \dots \\ 0 & 0 & \dots \\ \vdots & \vdots & \dots \end{bmatrix} \quad \text{الف 6}$$

### ضمیمه الف: روش آرنولدی<sup>1</sup>

ویژه بردارهای ماتریس مربعی می‌تواند با ترکیب خطی بردارهای  $v_0, A v_0, \dots, A^{m-1} v_0$  که در آن  $v_0$  یک بردار دلخواه انتخابی اولیه است تقریب زده شود و  $m$  باید به اندازه کافی بزرگ باشد. در فضای کریولو<sup>2</sup> داریم:

$$K_m = \left\{ x \mid x = \sum_{i=0}^{m-1} a_i A^i v_0 \right\} \quad \text{الف 1}$$

فرض کنید  $V_m = [v_1 \dots v_m]$  یک پایه اورتونرمال برای  $K_m$  است آنگاه هر ستون  $A v_m$  ترکیب خطی از ستونهای  $V_{m+1}$  خواهد بود.

$$A v_1 = v_1 h_{11} + v_2 h_{21} \quad \text{الف 2}$$

<sup>2</sup>Krylov space

<sup>1</sup>Arnoldi Method

$A$  و  $V_m$  ماتریس های  $n \times n$  هستند و  $H$  یک ماتریس  
هسنبرگ  $(m+1) \times m$  است. بنابراین:

$$V_m^T A V_m = V_m^T V_{m+1} H = H = (1:m, 1:m) \quad \text{الف 7}$$

پس به‌ازای مقادیر به‌اندازه کافی بزرگ  $m$ ، ویژه‌مقادیر  
 $H$  با تقریب خوبی برخی از ویژه‌مقادیر  $A$  خواهند بود  
و ویژه بردارهای متناظر  $A$  می‌تواند با  $V_m x$  تقریب زده  
شود که  $Hx = \lambda x$ . در اینجا  $H$  یک ماتریس  $m \times m$  است  
که  $m < n$ .